

ГЕНЕРАТОРНІ СТРУМИ ПІД ЧАС КОРОТКИХ ЗАМИКАНЬ В ПРИСТРОЯХ СИСТЕМИ ЕЛЕКТРИЧНОЇ ТЯГИ

В статті представлена математичну модель системи електричної тяги постійного струму залізниць України в режимі короткого замикання в тяговій мережі, і як наслідок процес виникнення генераторних струмів в електрорухомому складі. Для боротьби з генераторними струмами та їх негативними наслідками, автором запропоновано використання на рухомому складі автоматів гашення поля.

В статье представлена математическая модель системы электрической тяги постоянного тока железных дорог Украины в режиме короткого замыкания в тяговой сети, и как следствие процесс возникновения генераторных токов в электроподвижном составе. Для борьбы с генераторными токами и их негативными последствиями, автором предложено использовать на подвижном составе автоматов гашения поля.

ТЕОРЕТИЧНІ ПЕРЕДПОСИЛКИ І ПРИЧИНІ ВИНИКНЕННЯ ГЕНЕРАТОРНИХ СТРУМІВ

У порівнянні з тяговими струмами генераторні струми, що виникають в елементах системи електричної тяги, є більш рідкісним явищем. Насамперед, вони створюються спеціальним режимом рекуперативного гальмування і можуть виникати в аварійних режимах. Генераторні струми рекуперації в даній статті автор не аналізує, далі мова буде йти про аварійні генераторні режими.

Вплив аварійних генераторних струмів на тягову мережу (ТМ) найбільш повно приведена в роботах [1, 2]. Однак в цих дослідженнях не отримано і тому не проаналізовано (при поясненні) механізму виникнення струмів. По-друге, дослідження виконано для російських залізниць і для перших електровозів (ВЛ19). Крім цього, в [1] дещо неточні висновки відносно термінів часу, а також імовірності переходу тягових електродвигунів (ТЕД) в генераторний режим, що обумовлено, певно, умовами виконання в цій роботі дослідів при загальмованих ТЕД і односторонньому живлені контактної мережі (КМ). Нарешті, в обох роботах не запропоновано способи переривання виникнення генераторних струмів.

Для аналізу механізму виникнення генераторних струмів розглянемо, наприклад, електричну схему заміщення групи ТЕД електровоза постійного струму ДЕ1 (рис. 1).

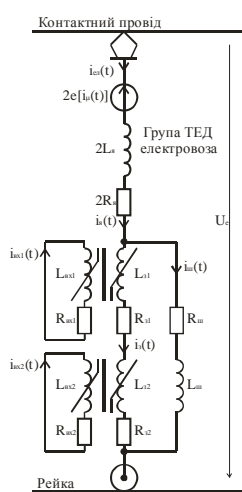


Рис. 1. Схема заміщення групи тягових двигунів

Для неї у випадку коли ТЕД працюють у режимі двигунів (при повному збудженні) справедливим є рівняння:

$$2(R_{\text{я}} + R_3)i_{\text{e}}(t) + 2L_{\text{я}} \frac{di_{\text{e}}}{dt} + 2 \cdot 2p\sigma_3 w_3 \frac{d\Phi}{dt} + 2e(t) = U_{\text{e}}, \quad (1)$$

де $R_{\text{я}}$, R_3 – активні опори обмоток якоря і збудження (ОЗ); $L_{\text{я}}$ – індуктивність ОЗ; $e(t)$ – проти-е.р.с. обмотки якоря; $2 \cdot 2p\sigma_3 w_3 \frac{d\Phi}{dt}$ – е.р.с. самоіндукції ОЗ;

Під час певних перехідних режимів напруга на струмоприймачі електровоза U_{e} та його струм i_{e} змінюються в часі, що призводить до порушення рівноваги роботи й тим самим переходу ТЕД у режим генерації:

$$e_{\text{r}}(t) = 0,5 \cdot U_{\text{e}}(t) + (R_{\text{я}} + R_3) \cdot i_{\text{r}}(t) + L_{\text{я}} \frac{di_{\text{e}}}{dt} + 2 \cdot 2p\sigma_3 w_3 \frac{d\Phi}{dt} + 2 \cdot e(t). \quad (2)$$

Із (2) випливає, що струм в електровозі, а отже і в ТМ змінить знак на від'ємний, тобто стане генераторним, у випадку, коли генераторна е.р.с. $e_{\text{r}}(t)$ перевищить напругу на струмоприймачі U_{e} електровоза, тобто при умові:

$$U_{\text{e}} < e_{\text{r}}(t). \quad (3)$$

Отже, якщо в нормальному тяговому режимі $U_{\text{e}} > e_{\text{r}}(t)$, то щоб виконалась умова (3), ѹ тим самим здійсниться генераторний режим потрібно різке зменшення за якихось причин напруги U_{e} або збільшення $e_{\text{r}}(t)$. Проаналізуємо ці можливі причини.

Напруга на струмоприймачі U_{e} може зменшитись за таких причин. Перша (без втрати контакту струмоприймача з контактним проводом) – в результаті звичайних експлуатаційних технологічних коливань. Як показують статистичні дослідження [3, 4], такі коливання спостерігаються в межах 2230...3990 В для електровозів ВЛ8 і ДЕ1. Загалом ці коливання відбуваються з невеликою частотою, десь до 1 Гц. Однак під час цих коливань можливі і стрибкоподібні (попштовхом) зміни напруги U_{e} . Наприклад, на ділянках Придніпровської залізниці для електровозів ДЕ1 з імовірністю 0,8 спостерігаються поштовхи-спади напруги ΔU_{e} від 209 до 861 В [5]. Певно, при таких непередбачено різких спадах напруги не виключеним є генераторний режим електровоза в ТМ.

Напруга на струмоприймачі U_{e} може зменшитись, причому різко, у режимі КЗ в ТМ, що випливає із такого простого рівняння:

$$U_{\text{e}} = E_{\text{пп}} - i_{\text{k}} \cdot R_{\text{тм}} = E_{\text{пп}} - i_{\text{k}} \cdot R_{0\text{тт}} \cdot l, \quad (4)$$

де $E_{\text{пп}}$ – е.р.с. тягової підстанції (ТП); i_{k} – струм короткого замикання.

ткого замикання (КЗ) в ТМ; $R_{0\text{TM}}$ – питомий опір ТМ ($\Omega/\text{мм}$); l – відстань, на якій знаходиться ЕРС (електропровод) від місця КЗ.

Із (4) випливає, що зі збільшенням l збільшується спад напруги в проводах ТМ, зокрема на ділянках "ек" (рис. 2), й тим самим зменшується U_e . Тобто, U_e в режимі КЗ залежить від місця розташування ЕРС і схеми живлення ТМ. І зрозуміло, що "потрібне" для генераторного режиму U_e буде не при кожному КЗ, а лише у випадку достатньої величини спаду напруги в ТМ, тобто, достатньому значенню $i_k R_{0\text{TM}} l$.

Вище розглянуто причини появи одного фактору умови (3), а саме, зменшення U_e . Другим фактором цієї умови є значення і характер зміни (збільшення) $e_r(t)$, яка, як відомо, визначається за виразом:

$$e_r(t) = C_e \cdot n \cdot \Phi(t), \quad (5)$$

де C_e – постійна двигуна; n – кількість обертів якоря (частота обертання); $\Phi(t)$ – основний магнітний потік.

Величина "n" за термін часу переходного процесу (0,2...0,3 с) не змінюється і тому характер зміни $e_r(t)$ визначається основним потоком $\Phi(t)$, на який, як відомо, суттєвий демпфіруючий вплив чинять вихрові

струми, що виникають в суцільних магнітопроводах остатів і головних полюсів ТЕД електровозів. Крім цього, у режимі послаблення збудження на характер зміни $\Phi(t)$ впливає і струм у вітці шунтування ТЕД.

Як зазначалось, найбільш розповсюдженім і небезпечним аварійним режимом у системі електротяги є режим КЗ в ТМ, тому далі методом математичного моделювання дослідимо закономірності виникнення і проаналізуємо результати чисельних розрахунків генераторних струмів у режимах КЗ. Як зазначалось в [6], процеси, що виникають при переході ТЕД в генераторний режим в момент КЗ в ТМ, достатньо складні і практично мало досліджени. І тому в публікаціях наведено лише орієнтовно характеристи зміни напруги на струмоприймачі, фідерні струми, але інші величини не вивчались.

Насамперед треба відзначити, що режим КЗ в ТМ при наявності ЕРС на фідерній зоні є найбільш тяжким і складним режимом як для ТМ так і для ЕРС.

Значний термін часу ведення поїзда здійснюється при "C"-з'єднанні ТЕД. Тому розрахуємо і проаналізуємо виникнення генераторних струмів якраз на цьому з'єднанні ТЕД електровоза ДЕ1.

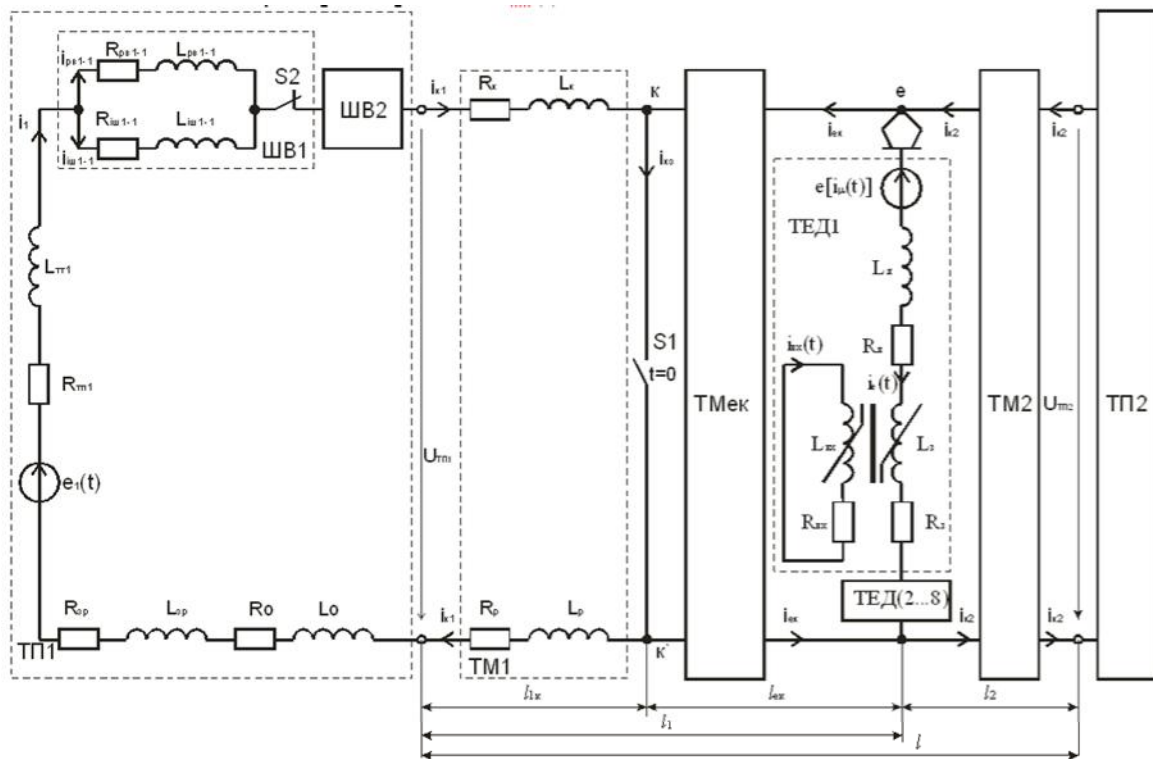


Рис. 2. Схема заміщення системи електричної тяги в режимі короткого замикання

МАТЕМАТИЧНА МОДЕЛЬ ПРОЦЕСУ КОРОТКОГО ЗАМИКАННЯ

Загальна математична модель режиму КЗ в ТМ згідно рис. 2 являє собою таку систему рівнянь:

$$\begin{aligned} & (R_{\text{TT}1} + R_{3\text{p}1} + R_{\text{k}1} + R_{\text{p}1} + R_{\text{o}1}) \cdot i_1 + \\ & + (L_{\text{TT}1} + L_{3\text{p}1} + L_{\text{k}1} + L_{\text{p}1} + L_{\text{o}1}) \cdot \frac{di_1}{dt} + \\ & R_{\text{i}\text{ш}1_1} \cdot i_{\text{i}\text{ш}1_1} + L_{\text{i}\text{ш}1_1} \frac{di_{\text{i}\text{ш}1_1}}{dt} + R_{\text{i}\text{ш}1_2} \cdot i_{\text{i}\text{ш}1_2} + \\ & + L_{\text{i}\text{ш}1_2} \frac{di_{\text{i}\text{ш}1_2}}{dt} = e_1(t); \end{aligned} \quad (6)$$

$$\begin{aligned} & (R_{\text{TT}2} + R_{3\text{p}2} + R_{\text{k}2} + R_{\text{p}2} + R_{\text{o}2}) \cdot i_2 + \\ & + (L_{\text{TT}2} + L_{3\text{p}2} + L_{\text{k}2} + L_{\text{p}2} + L_{\text{o}2}) \cdot \frac{di_2}{dt} + \end{aligned} \quad (7)$$

$$\begin{aligned} & R_{\text{i}\text{ш}2_1} \cdot i_{\text{i}\text{ш}2_1} + L_{\text{i}\text{ш}2_1} \frac{di_{\text{i}\text{ш}2_1}}{dt} + R_{\text{i}\text{ш}2_2} \cdot i_{\text{i}\text{ш}2_2} + \\ & + L_{\text{i}\text{ш}2_2} \frac{di_{\text{i}\text{ш}2_2}}{dt} + (R_{\text{kek}} + R_{\text{pek}}) \cdot i_{\text{ek}} + L_{\text{kek}} \frac{di_{\text{ek}}}{dt} = e_2(t) \\ & (R_{\text{kek}} + R_{\text{pek}}) \cdot i_{\text{ek}} + L_{\text{kek}} \frac{di_{\text{ek}}}{dt} + (R_{\text{я}} + R_3) \cdot i_{\text{e}} + 8L_{\text{я}} \cdot \frac{di_{\text{e}}}{dt} + \end{aligned} \quad (8)$$

$$+ 2 \cdot 2 p \sigma_3 w_3 \frac{d}{dt} \left(\sum_{k=1}^8 \Phi_k \right) = C_e \cdot \omega \cdot \sum_{k=1}^8 \Phi_k$$

$$i_{\text{я}} - i_1 - i_2 = 0 \quad (9)$$

$$\left. \begin{aligned} R_{\text{pbv1_1}} \cdot i_{\text{pbv1_1}} + L_{\text{pbv1_1}} \frac{di_{\text{pbv1_1}}}{dt} - R_{\text{iш1_1}} \cdot i_{\text{iш1_1}} - \\ - L_{\text{iш1_1}} \frac{di_{\text{iш1_1}}}{dt} = 0 \end{aligned} \right\} \quad (10)$$

$$\left. \begin{aligned} R_{\text{pbv1_2}} \cdot i_{\text{pbv1_2}} + L_{\text{pbv1_2}} \frac{di_{\text{pbv1_2}}}{dt} - R_{\text{iш1_2}} \cdot i_{\text{iш1_2}} - \\ - L_{\text{iш1_2}} \frac{di_{\text{iш1_2}}}{dt} = 0 \end{aligned} \right\} \quad (10)$$

$$\left. \begin{aligned} R_{\text{pbv2_1}} \cdot i_{\text{pbv2_1}} + L_{\text{pbv2_1}} \frac{di_{\text{pbv2_1}}}{dt} - R_{\text{iш2_1}} \cdot i_{\text{iш2_1}} - \\ - L_{\text{iш2_1}} \frac{di_{\text{iш2_1}}}{dt} = 0 \end{aligned} \right\} \quad (10)$$

$$\left. \begin{aligned} R_{\text{pbv2_2}} \cdot i_{\text{pbv2_2}} + L_{\text{pbv2_2}} \frac{di_{\text{pbv2_2}}}{dt} - R_{\text{iш2_2}} \cdot i_{\text{iш2_2}} - \\ - L_{\text{iш2_2}} \frac{di_{\text{iш2_2}}}{dt} = 0 \end{aligned} \right\} \quad (10)$$

$$\left. \begin{aligned} i_{\text{я}} - i_{\mu 1} - i_{\text{bx1}} = 0 \\ \dots \\ i_{\text{я}} - i_{\mu 8} - i_{\text{bx8}} = 0 \end{aligned} \right\} \quad (11)$$

$$\left. \begin{aligned} i_1 - i_{\text{pbv1_1}} - i_{\text{iш1_1}} = 0 \\ i_1 - i_{\text{pbv1_2}} - i_{\text{iш1_2}} = 0 \\ i_2 - i_{\text{pbv2_1}} - i_{\text{iш2_1}} = 0 \\ i_2 - i_{\text{pbv2_2}} - i_{\text{iш2_2}} = 0 \end{aligned} \right\} \quad (12)$$

$$\left. \begin{aligned} R_{\text{bx_3p}} \cdot i_{\text{bx1}} + \sigma_3 w_3 \frac{d\Phi_1}{dt} = 0 \\ \dots \\ R_{\text{bx_3p}} \cdot i_{\text{bx8}} + \sigma_3 w_3 \frac{d\Phi_8}{dt} = 0 \end{aligned} \right\} \quad (13)$$

$$\left. \begin{aligned} i_{\mu 1} = f(\Phi_1(t)) \\ \dots \\ i_{\mu 8} = f(\Phi_8(t)) \end{aligned} \right\} \quad (14)$$

Чисельні розрахунки виконано для таких режимів і припущення: живлення фідерних зон двостороннє; працюючий на ділянці електровоз серії ДЕ1; схеми з'єднання ТЕД "С"; збудження ТЕД повне; відстані між ТП1 і ТП2 рівній $l=20$ км; відстань від точки КЗ до ТП1 $l_{\text{ек}}=0,5$ км; відстань від ЕРС до точки КЗ змінюється $l_{\text{ек}}=0,5; 9,5; 18,5$ км.

Значення необхідних для розрахунку параметрів приведені в роботах автора [7...11].

РЕЗУЛЬТАТИ ЧИСЕЛЬНИХ РОЗРАХУНКІВ

У розглядуваному режимі КЗ складова струму ($i_{\text{кз}}=0$) і тому живлення ЕРС частково переходить на фідер підстанції ТП2. Одночасно, струм КЗ, тобто в "закоротці" $i_{\text{кз}}$ і фідерний струм i_1 від ТП1 різко зростають (рис. 3 і 4, при різній довжині $l_{\text{ек}}$: 1 – 0,5 км; 2 – 9,5 км; 3 – 18,5 км). Струм $i_1(t)$ досягає своєї ставки ($I_{\text{ly}}=3000$ А) і ШВ на ТП1 через 0,022 с після початку КЗ починає вимикатись і через 0,033 с повністю вимикається (рис. 3).

При цьому, як виливач із рис. 3, зазначене вимикання ШВ ТП1 відбувається при розташуванні ЕРС у

будь-якій точці фідерної зони, тобто, при будь-якій відстані між ЕРС і точкою КЗ.

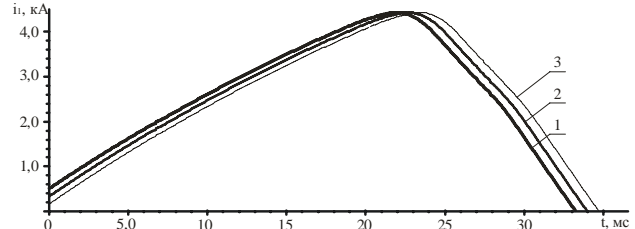


Рис. 3. Часові залежності струму тягової підстанції ТП1, при різній довжині від точки КЗ до ЕРС $l_{\text{ек}}$ [км]: 1 – 0,5; 2 – 9,5; 3 – 18,5

Характер зміни струму КЗ, тобто $i_{\text{кз}}$, в залежності від відстані $l_{\text{ек}}$ однаковий: спочатку, в період вимикання ШВ ТП1, він різко зростає до 6200...6600 А, потім також різко зменшується до 2000...2500 А і встановлюється в новому усталеному значенні 2500...3000 А. Тривалість такого перехідного процесу складає 0,3...0,35 с (рис. 4).

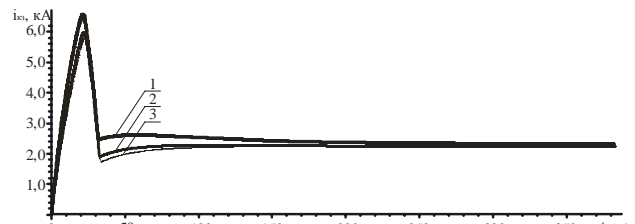


Рис. 4. Часові залежності струму короткого замикання, для умови рис. 3

Одночасно, фідерний струм i_2 спочатку лінійно зі швидкістю (3...3,5)-104 А/с, а потім експоненціально зростає до 2330 А при $l_{\text{ек}}=0,5$ км, а при русі поїзда до 2400 А – 9,5 км і 2600 А – 18,5 км (рис. 5). Приріст максимального значення цього струму склав відповідно 2270, 2176 і 2255 А, що може бути використано при розрахунках струму установки фідера і для правильного вибору параметрів датчика релейного захисту. І як виливач із рис. 5, при розглянутих відстанях $l_{\text{ек}}$ фідерний струм i_2 не досягає установки 3000 А і тому ШВ ТП2 не вимикається і ТП2 продовжує живити ЕРС і КЗ.

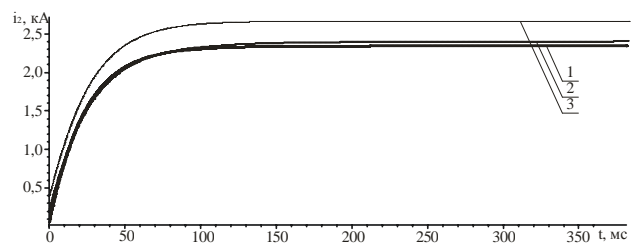


Рис. 5. Часові залежності струму тягової підстанції ТП2, для умови рис. 3

Також одночасно з вимиканням ШВ ТП1 і зростанням i_2 збільшується струм $i_{\text{ек}}$ між ЕРС і точкою КЗ (рис. 6), а, отже, і спад напруги $U_{\text{ек}}$ на цій же ділянці. Однак напруга на струмоприймачі U_e зменшується: спочатку кідком (в момент КЗ), а потім повільно (рис. 7), досягаючи свого усталено значення, обумовленого напругою на працюючій ТП2 і рівного спаду $U_{\text{ек}}$: ~100 В при $l_{\text{ек}}=0,5$ км; 1200 В – 9,5 км і 2400 В –

18,5 км. Різке зменшення напруги на струмоприймачі призводить також до різкого початкового (в термін вимикання ШВ ТП1) зменшення тягового струму електровоза i_e (рис. 8). Зменшується також основний магнітний потік $\Phi(t)$ ТЕД ЕРС (рис. 9), а також їх проти е.р.с. (рис. 10), яка залежить, як відомо, від $\Phi(t)$. Однак $\Phi(t)$ знижується значно повільніше, ніж струм електровоза i_e , що пов'язано з демпфіруючою дією магнітного потоку, створеного вихровими струмами в магнітопроводі ТЕД (рис. 11) достатньо великих максимальних значень (230...1080 А) в період вимикання ШВ ТП1. Зрозуміло і очевидно із рис. 10, що і проти е.р.с. $e(t)$ ТЕД електровоза знижується повільніше, ніж напруга на струмоприймачі U_e (рис. 7), що дорівнює спаду U_{ek} . Тому з часом, після вимикання ШВ ТП1 (і при $i_e=0$) U_e вирівнюється з $e(t)$, а потім стає меншою, ніж $e(t)$. В результаті ТЕД переходить в генераторний режим (рис. 8), максимальне значення струму якого i_g при $l_{ek}=0,5$ км досягає 760 А. Отже, імовірність генераторного режиму визначається величиною спаду напруги в ТМ U_{ek} на дільниці ек. Тобто, при великій відстані l_{ek} генераторний струм може не виникнути, як це спостерігається на рис. 8 (крива 3), що побудована для $l_{ek}=18,5$ км, а найбільш імовірно виникнення генератором режиму у ЕРС, що знаходиться близче до КЗ.

Генераторний струм у подальшому, з часом переходного процесу, після характерного сплеску (кідка) починає повільне експоненціальне загасання до певного усталеного режиму, що обумовлено таким же характером зменшенням $\Phi(t)$, а, отже і проти е.р.с. (рис. 10).

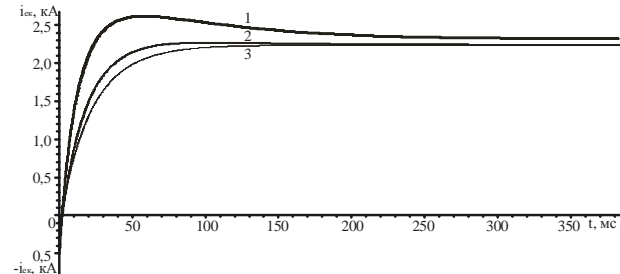


Рис. 6. Часові залежності струму на ділянці від ЕРС до точки КЗ, для умови рис. 3

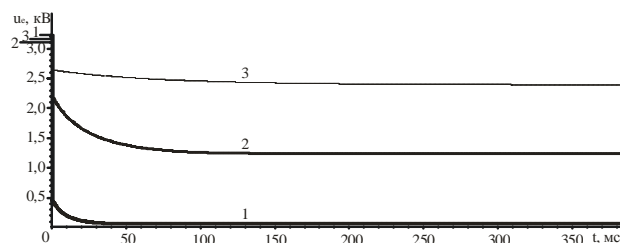


Рис. 7. Часові залежності напруги на струмоприймачі ЕРС, для умови рис. 3

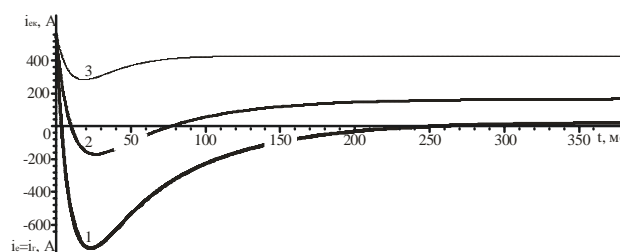


Рис. 8. Часові залежності струму ЕРС, для умови рис. 3

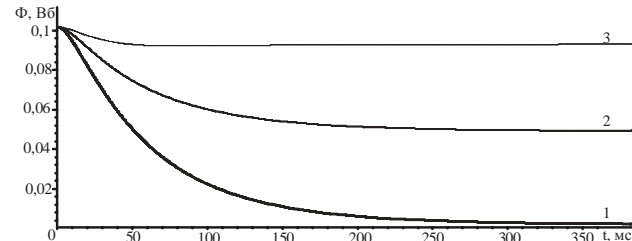


Рис. 9. Часові залежності основного магнітного потоку ТЕД ЕРС, для умови рис. 3

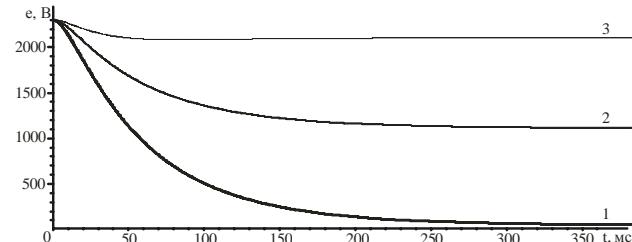


Рис. 10. Часові залежності проти е.р.с ТЕД ЕРС, для умови рис. 3

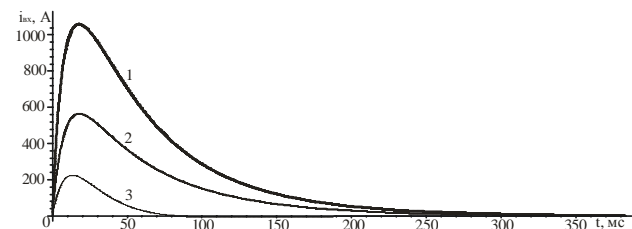


Рис. 11. Часові залежності вихрових струмів ТЕД ЕРС, для умови рис. 3

Тривалість сплеску генераторного струму співрозмірна з терміном часу вимикання струму i_{el} ШВ ТП1 і складає 0,035 с (рис. 8). В той же час ЕРС переходить в генераторний режим через 5...20 мс після початку КЗ, а весь переходний процес зміни струму $i_e(t)$ триває 0,075...0,25 с. В той же час, як відомо, термін часу спрацьовування релейного захисту системи тягового електропостачання не повинен перевищувати 0,08 с [12].

ГАШЕННЯ МАГНІТНОГО ПОЛЯ

Електрорухомий склад в генераторному режимі являє собою джерело електроенергії (джерело струму), що підживлює місце КЗ. При цьому енергія у місці КЗ, яка створюється одним-двома генеруючими електровозами, досягає 300...600 Ас, а амплітуда струмів генерації – до 1500 А [1]. В той же час для перепалу провода МФ-100 при струмах вище 400 А потрібно всього 250 Ас. Тобто, струми генерації являються серйозною причиною термічних пошкоджень КМ. Крім цього, вони викликають пошкодження також іскрових проміжків у колі заземлення опор КМ. Часті також випадки пошкодження апаратури на самому генератору чому ЕРС.

Зазначене вимагає розробки методів і засобів, які переривають або не допускають виникнення режиму генерації. Ці засоби і методи повинні базуватись, виходячи з основної причини, що обумовлює виникнення генераторного режиму, а саме на характер змінів часів основного магнітного потоку $\Phi(t)$, точніше на швидкості $d\Phi/dt$, яке значно менше швидкості зменшення напруги на струмоприймачі dU_e/dt . Тобто, потрібно пришвидшити процес загасання основного магнітного потоку. Для виконання

цієї функції можна застосовувати так звані автомати гашення поля (АГП), які набули широкого розповсюдження для захисту турбогенераторів на електростанціях. В роботі [13] виділено оптимальні умови гашення поля, які можна узагальнити наступними пунктами: термін час гашення поля мінімальний; напруга на обмотці збудження не повинна перевищувати гранично допустимого значення за умовою електричної міцності ізоляції.

У якості нелінійного резистивного елементу, призначено для розсіювання накопиченої енергії у вище-зазначених автоматах використовується коротка електрична дуга (2-3 мм). Проведені автором роботи [13] показали, що падіння напруги на короткій електричній дузі між металевими електродами зберігає практично сталу величину, не дивлячись на зміну струму в широких межах до величини 24 кА. Автором було зазначено, що схема гашення поля машин постійного струму є значно простішою, ніж поля синхронних машин, оскільки немає необхідності після гашення поля замикати обмотку збудження на шунтувачний опір.

Тривалість існування дуги в камері автомата при гашенні поля машини постійного струму незначна, а весь процес гашення поля вимірюється декількома десятками частками секунди.

СПИСОК ЛІТЕРАТУРИ

1. Векслер, М.И. Защита тяговой сети постоянного тока от токов короткого замыкания [Текст] / М.И. Векслер. – М.: Транспорт, 1976. – 120 с.
2. Пупынин, В.Н. Защита и отключение тяговых сетей в аварийных режимах: диссертация доктора технических наук [Текст] / В.Н. Пупынин. – М.: МИИТ, 1986. – 340 с.
3. Міщенко, Т.М. Вероятностные характеристики случайной функции напряжения на токоприемнике первого украинского электровоза ДЭ1 [Текст] / Т.М. Міщенко, П.Е. Михаліченко, М.О. Костін// Електротехніка і електромеханіка. – 2003. – № 2. – С. 43-45.
4. Саблин О.И. Повышение эффективности электропотребления электроподвижного состава постоянного тока [Текст] / О.И. Саблин: Дис. канд. техн. наук – Д.:2009. – 190 с.
5. Мищенко Т.Н. Математическое моделирование влияния толчков случайной функции напряжения на токоприёмнике на переходные электромагнитные процессы в электровозе ДЭ1 [Текст] / Т.М. Міщенко // Вісник ДНУЗТ. – 2005. – Вип. 9. – С. 61-68.
6. Сердинов С.М. Повышение надежности устройств электроснабжения электрифицированных железных дорог [Текст] / С.М. Сердинов.– М.: Транспорт, 1985. – 301 с.
7. Михаліченко П.Е. Вплив режиму короткого замикання в тяговій мережі постійного струму на переходні електромагнітні процеси в електрорухому складі [Текст]/ П.Е. Михаліченко, Т.М. Міщенко, М.О. Костін// Електротехніка і електромеханіка. – 2010. – № 4. – С. 63-66.
8. Михаліченко П.Є. Вплив пасивних фільтрів на електромагнітний стан в режимі короткого замикання в системі тягового електропостачання постійного струму [Текст] / П.Є. Михаліченко // Технічна електродинаміка. Тематичний випуск. Силова електроніка та енергоефективність. – 2010. – Ч.2 – С. 195-200.
9. Костін Н.А. Математическое моделирование переходных аварийных электромагнитных процессов в системе електрическої тяги постійного тока. 1. Короткое замыкание без тяговой нагрузки [Текст]/ Н.А. Костін, П.Е. Михаліченко // Вісник ДІТа. – Випуск 17. – 2007. – С. 66-71.
10. Михаліченко П.С. Математичне моделювання переходних аварійних електромагнітних процесів в системі електричної тяги постійного струму. 2. Коротке замикання з електрорухомим складом [Текст] / П.Є. Михаліченко // Вісник Діста. – Випуск 32. – 2010. – С. 175-179.
11. Михаліченко П.Є. Математичне моделювання переходних аварійних електромагнітних процесів в системі електричної тяги постійного струму [Текст] / П.Є. Михаліченко, М.О. Костін// Технічна електродинаміка. Тематичний випуск. Проблеми сучасної електротехніки. Частина 2. – 2008. – С. 31-35.
12. ГОСТ 2585-81. Выключатели автоматические быстродействующие постоянного тока. Общие технические условия [Текст]. – М.: Госстандарт, 1981. – 29 с.
13. Брон О.Б. Автоматы гашения магнитного поля [Текст] / О.Б. Брон.– М, Л.: Госэнергоиздат, 1961. – 137 с.

Bibliography (transliterated): 1. Veksler, M.I. Zaschita tyagovoju seti postoyannogo toka ot tokov korotkogo zamykaniya [Tekst] / M.I. Veksler. - M.: Transport, 1976. - 120 s. 2. Pupynin, V.N. Zaschita i otklyuchenie tyagovoju setej v avarijnyh rezhimah: dissertaciya doktora tehnicheskikh nauk [Tekst] / V.N. Pupynin. - M.: MIIT, 1986. - 340 s. 3. Mischenko, T.M. Veroyatnostnye karakteristiki sluchajnoj funkciy napryazheniya na tokopriemnike pervogo ukrainskogo `elektrovoza D'E1 [Tekst] / T.M. Mischenko, P.E. Mihalichenko, M.O. Kostin// Elektrotehnika i elektromehanika. - 2003. - № 2. - S. 43-45. 4. Sablin O.I. Povyshenie `effektivnosti `elektropotrebleniya `elektropodvzhnogo sostava postoyannogo toka [Tekst] / O.I. Sablin: Dis. kand. tehn. nauk - D.:2009. - 190 s. 5. Mischenko T.N. Matematicheskoe modelirovanie vliyanija tolchkov sluchajnoj funkciy napryazheniya na tokopriemnike na perehodnye `elektromagnitnye processy v `elektrovoze D'E1 [Tekst] / T.M. Mischenko // Visnik DNUZT. - 2005. - Vip. 9. - S. 61-68. 6. Serdinov S.M. Povyshenie nadezhnosti ustrojstv `elektrosnabzheniya `elektrificirovannyh zheleznyh dorog [Tekst] / S.M. Serdinov.- M: Transport, 1985. - 301 s. 7. Mihalichenko P.E. Vpliv rezhimu korotkogo zamikannya v tyagovij merezhi postojnogo strumu na perehidni elektromagnitni procesi v elektroruhomomu skladu [Tekst] / P.E. Mihalichenko, T.M. Mischenko, M.O. Kostin// Elektrotehnika i elektromehanika. - 2010. - № 4. - S. 63-66. 8. Mihalichenko P.E. Vpliv pasivnih fil'trov na elektromagnitnij stan v rezhimi korotkogo zamikannya v sistemi tyagovogo elektropostachannya postojnogo strumu [Tekst] / P.C. Mihalichenko // Tehnicka elektrodinamika. Tematichnij vypusk. Silova elektronika ta energoeffektivnist'. - 2010. - Ch.2 - C. 195-200. 9. Kostin N.A. Matematicheskoe modelirovanie perehodnyh avarijsyh `elektromagnitnyh processov v sisteme `elektricheskoy tyagi postoyannogo toka. 1. Korotkoe zamykaniye bez tyagovoju nagruzki [Tekst] / N.A. Kostin, P.E. Mihalichenko // Visnik DII Ta. - Vipusk 17. - 2007. - C. 66-71. 10. Mihalichenko P.E. Matematichne modeluyuvannia perehidnih avarijsnih elektromagnitnih procesiv v sistemi elektrichnoj tyagi postojnogo strumu. 2. Korotke zamikannya z elektroruhomim skladom [Tekst] / P.C. Mihalichenko // Visnik Dieta. - Vipusk 32. - 2010. - C. 175-179. 11. Mihalichenko P.E. Matematichne modeluyuvannia perehidnih avarijsnih elektromagnitnih procesiv v sistemi elektrichnoj tyagi postojnogo strumu [Tekst] / P.C. Mihalichenko, M.O. Kostin// Tehnicka elektrodinamika. Tematichnij vypusk. Problemi suchasnoj elektrotehniki. Chastina 2. - 2008. - S. 31-35. 12. GOST 2585-81. Vykluyuchateli avtomaticheskie bystrodejstvuyuschie postoyannogo toka. Obschie tehnicheskie usloviya [Tekst]. – M.: Gosstandart, 1981. – 29 s. 13. Bron O.B. Avtomaty gasheniya magnitnogo polya [Tekst] / O.B. Bron. - M, L.: Gosenergoizdat, 1961. - 137 s.

Надійшла 17.10.2012

Михаліченко Павло Євгенович, к.т.н., доц.

Дніпропетровський національний університет
залізничного транспорту ім. академіка В.А. Лазаряна

кафедра "ТОЕ"
49010, Дніпропетровськ, вул. Академіка В.А. Лазаряна, 2
тел.: (056) 3731537, e-mail: miha_pavel@mail.ru

Mihalichenko P.E.

Generator currents under short circuits in electric propulsion system equipment.

In the article, a mathematical model of a DC electric propulsion system of the Ukrainian railways is introduced for a short-circuit condition in the traction network and, as its result, generator current initiation in electric rolling stock. For control of generator currents and their negative effect, the author suggests automatic field damper application on the rolling stock.

Key words – mathematical modeling, contact system, electromagnetic processes, DC electric train, short circuit.